

تحضير ودراسة الخصائص الحرارية لكونبوليمرات المشتقة

من (البس فينول - A والبس فينول - S)

هدى سالم خضير، وداد صالح حنوش، زكي ناصر كاظم
قسم الكيمياء، كلية العلوم، جامعة البصرة، البصرة، العراق

تاريخ الاستلام: 2016 / 12 / 25
تاريخ قبول النشر: 2016 / 9 / 8

Abstract

In this study, resol resins were prepared from the reaction of (bisphenol-A or bisphenol-S) with formalin in the basic medium. Also copolymers of these resin prepared by using different ratios (5-25%) of polyvinyl alcohol with (bisphenol-A or bisphenol-S) with formalin in the basic medium.

These resins, copolymers were characterized by FTIR and evaluated by differential scanning calorimetry (DSC) and thermogravimetric analysis (TGA) techniques. The result from DSC thermograms shows that the glass transition temperature (T_g) for resol resin derived from bisphenol-A is less than that derived from bisphenol-S. However, the T_g values for the cured copolymers were found to be less than that for the resin derived from bisphenol-A and bisphenol-S.

The TGA thermograms for cured resins and copolymers show more than one thermal decomposition temperature. Also, higher rates of the char residue especially to resins and copolymers derived from bisphenol-S.

Keyword

Bisphenol-A, Bisphenol-S, Resol, Polyvinyl alcohol, Thermal stability.



أو على المواد الأولية الداخلة في تركيب تلك الراتنجات

[11,14,13,12,15]، ويجرى التحويل بمزجها أو تحويتها

مع بوليمرات أخرى لتحسين المثانة للمتجانسات النهائية.

أدى استعمال البس فينولات في تحضير بوليمرات الفينول

فورمالديهيد إلى زيادة الخصائص الحرارية والميكانيكية مثل

هذه الراتنجات [16]. أدى استعمال راتنجات البس فينول-

(A) (BPA) والبس فينول-S (BPS) على نطاق واسع

كبدائل اقتصادي لجزء من الفينول المستعمل في تحضير

راتنجات الفينول فورمالديهيد، لأنها تقلل نسبة الفورمالين

إلى البس فينول المستعمل، فتتيح راتنجات الفينول ذات

هشاشة أقل بالمقارنة مع راتنجات الفينول فورمالديهيد

الاعتيادية [17]. وأستعملت بوليمرات البولي (أسيتال

الفينيل) كعوامل تقوية لراتنجات الفينولية وزيادة ممتاناتها،

مثل بولي (فورمال الفينيل) (PVF) [18] وبولي (بوتيرال

الفينيل) (PVB) [19].

وبالنظر لما تتمتع به راتنجات الفينولية من خصائص مميزة

تؤهلها لاستعمالات صناعية متعددة إلا أن أحدى مساوئها هي

الهشاشة بسبب وجود التركيب الاروماتي ضمن السلسل

البوليمرية، لذا تهدف الدراسة إلى إجراء بعض التحويلات

على تلك الراتنجات، من خلال تحضير راتنجات الريسول

للبس فينول-A والبس فينول-S، ثم تحضير مجموعة جديدة

من كوبوليمرات مع بولي كحول الفينيل.

2. الجزء العملي

1.2. المواد الكيميائية:-

جميع المواد المستخدمة في تحضير بوليمرات والمذبيات

هي مواد نقية من انتاج شركة Merck، BDH Aldrich،

H&W Fluka

1. المقدمة

تعتبر الراتنجات الفينولية أولى البوليمرات المحضرة

صناعياً والتي حضرت من مركبات بسيطة ذات أوزان

جزيئية واطئة، وعرفت براتنجات الفينول فورمالديهيد

والتي تسمى بالفينوبلاست [1]. وقد حضرت من تكافاف

المركبات الفينولية مع الفورمالديهيد أو الألدヒيدات

الأخرى، بوجود الحامض أو القاعدة كعوامل معايدة [2].

تعتبر الراتنجات الفينولية واحدة من أهم البوليمرات المتصلبة

حرارياً بسبب خصائصها المميزة كالاستقرار الحراري

[3] والقدرة الميكانيكية [4] وخصائص العزل الكهربائي

[5]، وتستعمل في مختلف التطبيقات التجارية والصناعية

والصناعات التحويلية [6]، فالعامل الأساس في تحديد مدى

ملائمة المنتج النهائي في مختلف التطبيقات هو مدى هشاشة

وصلابة ذلك المنتج [7,8,9]. فالراتنجات الفينولية،

صلدة وهشة بسبب درجة التشبك العالي والذي يحد من

تطبيقاتها [10].

الهدف الرئيس من عملية التحويل لراتنجات الفينولية

هو تقليل هشاشة هذه البوليمرات وزيادة ممتانتها ومتانتها

وتحسين بعض من خصائصها الفيزيائية وتحسين خصائص

الالتصاق وтехнологيا قوية المادة. وأجريت بحوث

عديدة لتحسين خصائص الراتنجات الفينولية، وللإنتاج

راتنجات فينولية محورة وجديدة ذات مواصفات ملائمة

للاستخدامات المتنوعة مثل: ثباتها الحراري والكيميائي

وزيادة في قوة التصادم والشد وغير ذلك، ولغرض تحسين

تلك المواصفات لتلائم ظروف الاستعمالات المختلفة.

الخلاصة

حضر في هذه الدراسة راتنج الريسول لمركبي البس فينول-A والبس فينول-S من تفاعل البس فينول المقابل مع محلول الفورمالين في وسط قاعدي من محلول هيدروكسيد الصوديوم، ثم حضرت كوبوليمرات لمركبي البس فينول-A والبس فينول-S وذلك بتفاعلها كلًا على حده مع محلول الفورمالين بوجود هيدروكسيد الصوديوم كعامل مساعد وبوجود نسب وزنية مختلفة (5-25%) من بولي كحول الفينيل.

شخصت الراتنجات والكوبوليمرات المحضرة بتقنية الأشعة تحت الحمراء وتم تقييمها حراريًا باستخدام تقنيات المسح التفاضلي المسريري والتحليل الحراري الوزفي ومن منحنيات المسح التفاضلي المسريري تم استخراج قيم درجات الانتقال الزجاجي ولوحظ أن قيمتها لراتنج الريسول المحضر من البس فينول-A أقل مما هو عليه لراتنج الريسول-S المحضر من البس فينول-S، فضلًا عن ذلك لوحظ أن قيم درجات الانتقال الزجاجي للكوبوليمرات المحضرة هي أوطأ من راتنجي الريسول المحضر عن وجود أكثر من درجة تفكك حراري، فضلًا عن النسب العالية للتفحيم مما يؤهلها للالستعمال في مجالات العزل الحراري وخاصة الراتنجات والكوبوليمرات المشتقة من البس فينول-S.

الكلمات المفتاحية

البس فينول-A، البس فينول-S، الريسول، بولي كحول الفينيل، الثبات الحراري.

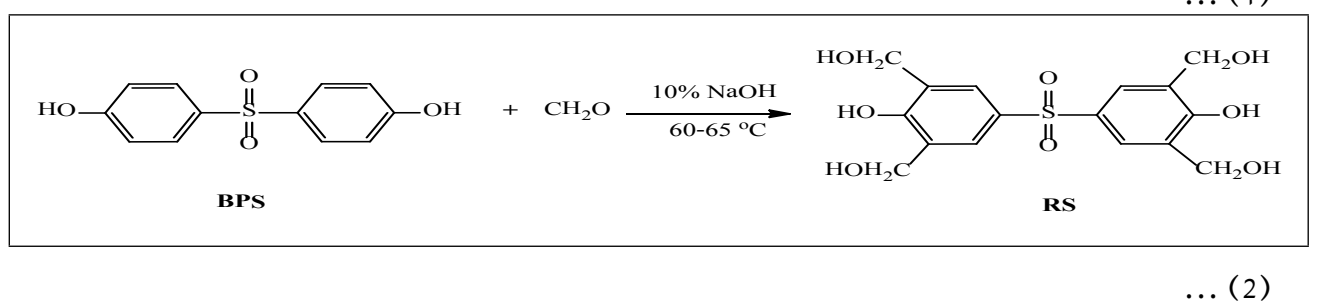
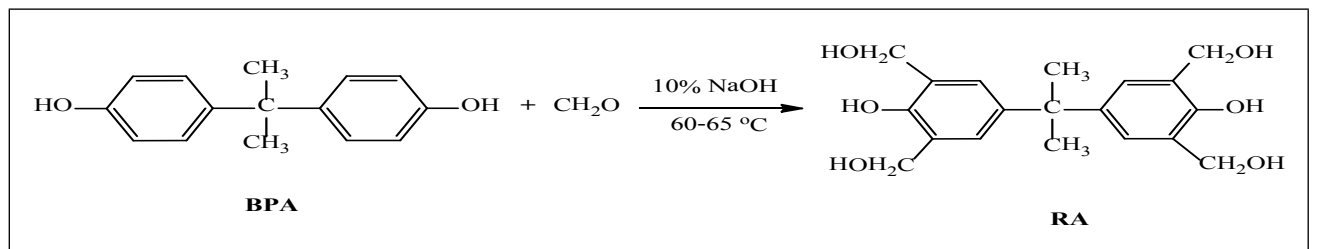
4. النتائج والمناقشة:

1.4. تحضير راتنجات الريسول (RA,RS)

حيث اتبعت نفس طريقة العمل الموضحة في الفقرة (1.2.2.3)، إذ تم الحصول على الناتج النهائي على هيئة مادة لزجة القوام ذات لون أحمر دموي لكل النسب المستعملة من PVA (RA و RS) من تفاعل البس فينول-A والبس فينول-S كلاً.

3.2.3. تقسيمة راتنجات الريسول والكوبوليمرات المحضرة

جرت تقسيمة راتنجات الريسول والكوبوليمرات على حده مع محلول الفورمالين (37%) وبنسبة تزيد عن (4) مولات من الفورمالين لكل مول من البس فينولات لضمان دخول ثلاث أو أربع مجاميع مثيلول على كل جزيئه من البس فينولات [22,21]، وقد أجري التفاعل في وسط قاعدي باستعمال محلول هيدروكسيد الصوديوم بتركيز (10%)، وأجريت عملية التقسيمة اللاحقة (post curing) عن طريق وضع النهاذج في فرن بدرجة حرارة °C (180) ولمدة ساعتين. وبذلك تكون جاهزة لتقيمها حرارياً باستخدام تقنيتي قاعدية المحلول ودرجة الحرارة خلال زمن التفاعل لمنع تبلمر وتصلب المادة كلياً، وكما موضح بالمعادلتين (1 و 2):



وأستعمل حامض الفسفوريك لمعادلة الريسول الناتج على درجة الحرارة في هذا التفاعل ضرورية لتجنب عمليات البلمرة التي تحصل بين مجاميع المثيلول المتكون في أثناء التفاعل. وإن الراتنج النهائي يكون بهيئة مادة لزجة القوام لغرض ترسيب هيدروكسيد الصوديوم على شكل ملح غير ذائب والذي يمكن أزالته بسهولة. المعروف أن هذا التفاعل يؤدي إلى تكوين مجاميع المثيلول (-CH₂OH) والتي تتجه إلى الموقع اورثو بالنسبة لمجموعة OH الفينولية، وإن السيطرة إن راتنجات الريسول المحضرة تمتلك العديد من مجاميع

الفورمالين للحصول على مادة لزجة القوام ذات لون عسلي.

حضر راتنج الريسول لمركب البس فينول-S باتباع نفس طريقة العمل أعلاه للحصول على مادة لزجة القوام ذات لون أحمر. سخنست الراتنجات المحضرة بتقنية FTIR.

2.3. تحضير كوبوليمرات (البس فينولات-بولي كحول الفينيل)

1.2.3. تحضير كوبوليمرات البس فينول-A-بولي كحول الفينيل (AV25, AV20, AV15, AV10, AV5)

سجلت منحنيات المسح التفاضلي المسرع (DCS) وضع ml (10) من محلول الفورمالين (37%)، وسخنوعاء التفاعل لدرجة °C (40) في دورق زجاجي ذي ثلات الفتحات مزود بمحرك ميكانيكي ومكثف ومحرار ثم أضيف إليه g (0.16) من البس فينول-A وبولي كحول الفينيل (PVA) بنسبة وزنية (5%) نسبة إلى البس فينول-A بشكل تدريجي مع إضافة محلول هيدروكسيد الصوديوم بتركيز (10%) بشكل تدريجي لجعل وسط التفاعل قاعدياً ثم سخن المزيج إلى درجة °C (65) لمدة ثلات ساعات مع الحفاظ على قاعدية المحلول ودرجة الحرارة خلال فترة التفاعل. برد الناتج إلى درجة حرارة المختبر وقت معادلته بإضافة محلول حامض الفسفوريك بتركيز (10%).

فضل الناتج وتم تبخير ما تبقى من مادة الفورمالين للحصول على مادة لزجة القوام ذات لون عسلي. أعيدت نفس طريقة العمل أعلاه ولكن باستعمال نسب وزنية مئوية مختلفة من PVA (10، 15، 20، 25%).

SX25, SV20, SV15, SV10, SV5)

2.2.3. تحضير كوبوليمرات البس فينول-S-بولي كحول الفينيل (SV25, SV20, SV15, SV10, SV5)

حضرت هذه الكوبوليمرات بتفاعل البس فينول-S مع

2.2. الاجهزه المستخدمة:

1.2.2. جهاز مطيافية الأشعة تحت الحمراء (FTIR)

سجلت اطيفات الأشعة تحت الحمراء ضمن المدى (4000-400) cm⁻¹ وباستعمال أقراص بروميد البوتاسيوم (KBr disc) وباستخدام جهاز نوع FTIR-8400S SHIMADZU، ياباني المنشأ/

قسم الكيمياء / كلية العلوم / جامعة البصرة.

2.2.2. أجهزة التحاليل الحرارية

سجلت منحنيات المسح التفاضلي المسرع (DCS) وضع ml (10) من محلول الفورمالين (37%)، وسخنوعاء التفاعل لدرجة °C (40) في دورق زجاجي ذي ثلات الفتحات مزود بمحرك ميكانيكي ومكثف ومحرار ثم سخن المزيج إلى درجة °C (65) لمدة ثلات ساعات مع الحفاظ على قاعدية المحلول ودرجة الحرارة خلال فترة التفاعل. برد الناتج إلى درجة حرارة المختبر وقت معادلته بإضافة محلول حامض الفسفوريك بتركيز (10%).

فضل الناتج وتم تبخير ما تبقى من مادة الفورمالين للحصول على مادة لزجة القوام ذات لون عسلي. أعيدت نفس طريقة العمل أعلاه ولكن باستعمال نسب وزنية مئوية مختلفة من PVA (10، 15، 20، 25%).

SX25, SV20, SV15, SV10, SV5)

2.2.3. تحضير كوبوليمرات البس فينول-S-بولي كحول الفينيل (SV25, SV20, SV15, SV10, SV5)

حضرت هذه الكوبوليمرات بتفاعل البس فينول-S مع

3. طائق التحضير

1.3. تحضير راتنجي الريسول لمركبي البس فينول-A ومركب البس فينول-S (RS, RA)

وضع ml (10) من محلول الفورمالين (37%)، وسخنوعاء التفاعل لدرجة °C (40) في دورق زجاجي ذي ثلات الفتحات مزود بمحرك ميكانيكي ومكثف ومحرار ثم سخن المزيج إلى درجة °C (65) لمدة ثلات ساعات مع الحفاظ على قاعدية المحلول ودرجة الحرارة خلال فترة التفاعل. برد الناتج إلى درجة حرارة المختبر وقت معادلته بإضافة محلول حامض الفسفوريك بتركيز (10%).

SX25, SV20, SV15, SV10, SV5)

حضرت هذه الكوبوليمرات بتفاعل البس فينول-S مع

1298-1361 cm⁻¹ (1385-1361), في حين

3.4. أطيف الاشعة تحت الحمراء FTIR
 أظهرت أطيف كوبوليمراتها والمشار إليها في الشكل (2) شخصت جميع الراتنجات والكوبوليمرات المحضررة حزمة مط قوية عند 1027 cm⁻¹ عزيز لاصرة (C-O-C). وقد أظهرت أطيف راتنجات البس تقنية FTIR. الناتجة من عملية التشابك بين RA و PVA بينما أظهرت أطيف الراتنجات المستندة على BPS والمبيبة في الشكل (3) وجود حزمة عريضة عند 3420-3320 cm⁻¹ تعزى إلى تردد المطر لمجموعة OH الفينولية [24] وظهور حزمة عند 1132-1105 cm⁻¹ (SO₂) عند 900-585 cm⁻¹ لمجاميع الميثيلول وغير الموجودة في طيفي وأظهرت أطيف كوبوليمراتها الموضحة في الشكل (4) حزمة عند 1099 cm⁻¹ تعزى لأصرة (C-O-C) [25,26].

كما أظهرت أطيف الراتنجات المستندة إلى BPA والموضحة في الشكل (1) حزمة ثنائية لمجموعة C(CH₃)₂ عند الموقع 1099 cm⁻¹ تعزى لأصرة (C-O-C) [27,28].

الجدول (1): الحزم الرئيسية لأطيف FTIR العائد لراتنجات البس فينولات وكوبوليمراتها

الراتنجات والكوبوليمرات	موقع حزم الامتصاص للمجاميع الفعالة (cm ⁻¹)					
	v(O-H)	v(C-H) ^{a,c} v(C-H) ^{b,c}	v(C=C) ^d	CH ₂	CH ₃	(S=O) ^a (S=O) ^b
RA	3409 2862	2931 2891	1600	1473	1369 1288	-
AV25	3379	2966 2891	1604	1485	1384,1365 1265	-
RS	3321	2927	1589	1461	-	1261 1132
SV25	3419 2854	2923 2854	1587	1465	-	1274 1128

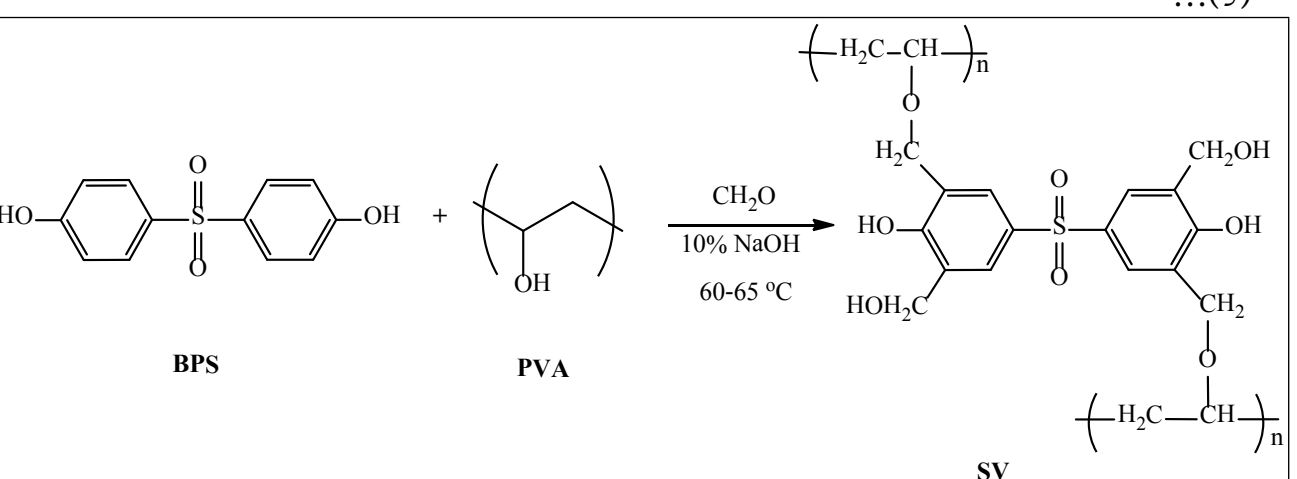
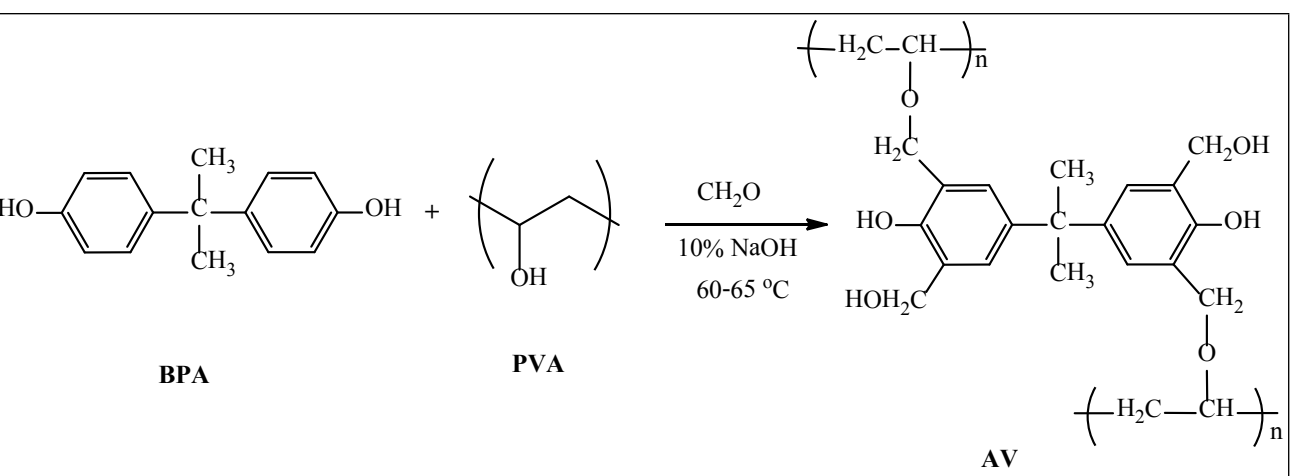
a: str.(asym.) b: str.(sym.) c:(alkane) d: Ar.str

جرى استخدام تقنية DSC لحساب درجة الانتقال لرجاجي

4. التحاليل الحرارية

استعملت نوعين من التقنيات هي تقنية المسح المسعرى للراتنجات والكوبوليمرات المحضررة والمتصببة حراريًا. لوحظ من منحني DSC (TGA) الشكل (5) أن Tg لراتنج RA التفاضلي (DSC) وتقنية التحليل الحراري الوزني (TGA) هي °C (56) وتبأ بالنقسان عند أضافة نسب مختلفة من للتعرف على السلوك الحراري للبوليمرات والكوبوليمرات PVA وخاصة عند (5%) و(10%) و(25%) وكما موضح المحضررة وتحديد مجالات استعمالها.

الميثيلول الفعالة والتي أستغلت لتحويل تلك الراتنجات فينول-S, كلاً على حده مع محلول الفورمالين (37%) مع بواسطة التفاعلات الكيميائية مع بولي كحول الفينيل إدخال نسب وزنية مختلفة من PVA (25,20,15,10,5)% نسبة إلى مركبي BPA و على التوالي وجرى التفاعل في وسط قاعدي بـاستعمال محلول هيدروكسيد الصوديوم بتراكيز (10%). و يجب السيطرة على قاعدة محلول ودرجة الحرارة خلال زمن التفاعل لتجنب تبلمر مزيج التفاعل، نسب وزنية مختلفة (25,20,15,10,5)% من بولي كحول الفينيل (PVA) من خلال تفاعل البس فينول-A والبس وكما موضح بالمعادلتين أدناه:



إن إضافة PVA إلى هذه الراتنجات هو لاعطاء صفة عملية التحويل بسهولة [23]. إذ من المتوقع أن تتفاعل مجاميغ الميثيلول العائدة للريسلول المتكون أثناء التفاعل مع مجاميغ PVA يحتوي على سلسلة اليفافية، إذ تعدد أحدي الطرائق المتبعة في تقليل هشاشة تلك البوليمرات، إذ يمتلك PVA الهيدروكسيل العائدة إلى PVA وتكوين رابطة ايشية، وكما موضح في المعادلين (3) و (4) أعلاه.



درس الثبات الحراري للبوليمرات والكوبوليمرات المتصلبة وكوبوليمراتها المحضر، والمبيئة في الاشكال (17-28) باستخدام تقنية التحليل الحراري الوزني والتي تشير منحنiate الى وجود حزمتي تفكك لأغلب الراتنجات والكوبوليمرات المحضر في وزن النموذج كدالة لدرجة الحرارة، حيث تم حساب التغير في وزن النموذج للراتنج A- وحزمة تفكك واحدة حيث من البس فينول-S، بعض الدوال الحرارية بالاعتماد على تلك المنحنيات [30] مثل: للراتنجات والكوبوليمرات المحضر من البس فينول-S، طاقة التنشيط (ΔE) لعملية التفكك والتي تم حسابها فضلاً عن ذلك لوحظ أن كل من طاقة التنشيط لعملية التفكك، $T_{50\%}$ والنسبة المئوية للتفحّم تكون أعلى بالنسبة عند درجة تفكك البوليمر بالاعتماد على نظرية ارينيوس. للراتنجات المحضر من البس فينول-S، وأن السبب هو $T_{50\%}$ والتي تمثل الدرجة الحرارية التي يفقد فيها البوليمر نصف وزنه. الدرجة الحرارية القصوى (DT) التي يتفكك عندها يجعلها أكثر تحملًا للحرارة. أما وجود PVA بنسبة مختلفة مع راتنجات الرسول للبس فينول-A والبس فينول-S، فليس له تأثير يذكر على الثبات الحراري للكوبوليمرات المحضر وهذا ما يبيّنه قيم الدوال الحرارية المحسوبة من تلك المنحنيات والموضحة في الجدول رقم (4)، وكما لوحظ إن عند درجة حرارة معينة وهنام حسابها عند درجة (700 °C). أغلب الراتنجات والكوبوليمرات المحضر لها نسبة تفحّم ويوضح الجدول (4) الدوال الحرارية التي تم استخراجها عالية (أعلى من 40%) مما يؤهلها لاستعمالها كمواد رابطة وحسابها من منحنيات التحليل الحراري الوزني، حيث لوحظ من خلال منحنيات TGA لراتنجات الرسول (Binder material) عند تحضير المترابقات البوليمرية.

جدول (4): الدوال الحرارية لراتنجات الرسول والكوبوليمرات

الراتنجات والكوبوليمرات	درجة حرارة التفكك القصوى DT (°C)		$T_{50\%} (°C)$	$T_s (°C)$	طاقة التنشيط (ΔE KJ/mol)	نسبة التفحّم (%) عند (700 °C)
	T_{op1}	T_{op2}				
RA	329	400	561	-	43.21	45.76
AV5	307	407	586	-	44.81	45.97
AV10	396	-	639	-	49.11	47.36
AV15	407	-	564	-	01.42	45.47
AV20	300	400	557	-	41.76	43.88
AV25	304	411	550	-	41.31	43.35
RS	379		> 700	371	60.22	55.69
SV5	389	-	> 700	389	54.31	53.04
SV10	371	-	> 700	371	60.32	57.72
SV15	386	-	> 700	386	60.02	55.10
SV20	282	-	> 700	418	58.72	60.28
SV25	379	-	> 700	379	69.21	54.89

رفع قيم درجات الأنقال الزجاجي. أما بالنسبة إلى راتنجات البس فينول-S وكوبوليمراتها، يوضح الشكل (11) منحنى DSC لراتنج الرسول RS والذي تبين فيه أن قيمة T_g لهذا الراتنج هي 80 °C، في حين عند إضافة نسب مختلفة من تقل بزيادة مرونة السلاسل البوليمرية [28] في حين تبدء قيم T_g بالزيادة عند النسب (15%) و(20%) الاشكال (9,10) ويمكن تفسير ذلك على أساس الزيادة في التشابل الحال في السلاسل البوليمرية [29]. والجدول (2) يوضح T_g للراتنج وكوبوليمراته المحضر من البس فينول-A. من ناحية أخرى لوحظ أن قيمة T_g للراتنج RS أعلى مما في راتنج RA وإن سبب ذلك يعود إلى وجود مجموعة السلفون على التوالي. والجدول رقم (3) يوضح قيم ال T_g للراتنج والكوبوليمرات المحضر من البس فينول-S. القطبية إذ يعد عامل القطبية من العوامل التي تساعده على جدول (2): قيم درجة الأنقال الزجاجي لراتنج الرسول (RA) وكوبوليمراته

الراتنجات والكوبوليمرات	درجة الأنقال الزجاجي (Tg) °C
RA	56.49
AV5	47.48
AV10	48.33
AV15	116.33
AV20	82.90
AV25	47.40

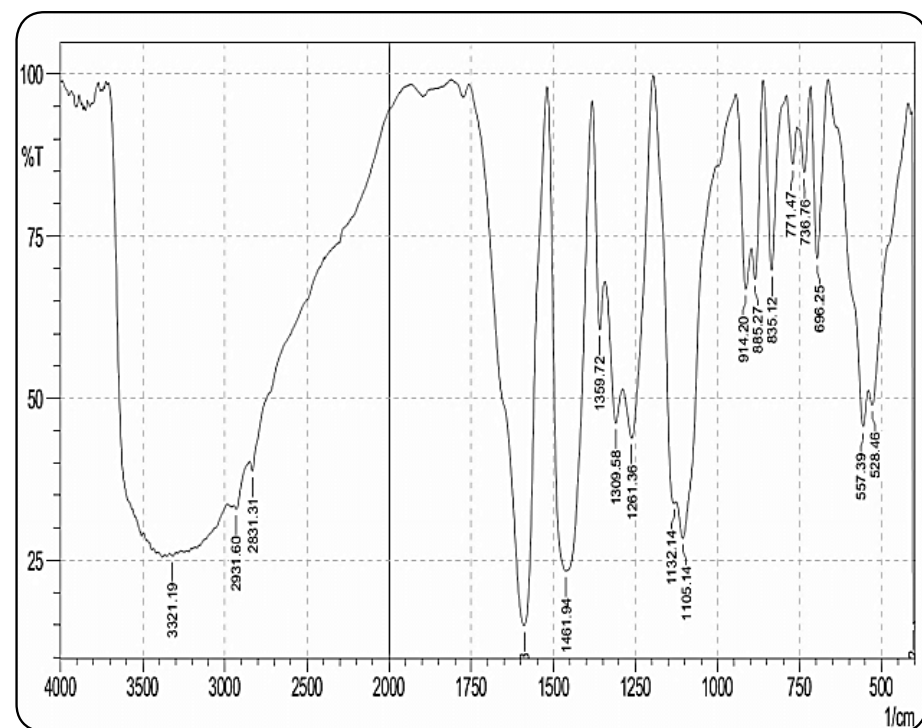
جدول (3): قيم درجة الأنقال الزجاجي لراتنج الرسول (RS) وكوبوليمراته

الراتنجات والكوبوليمرات	درجة الأنقال الزجاجي (Tg) °C
RS	80.46
SV5	75.56
SV10	73.13
SV15	75.38
SV20	74.07
SV25	73.92

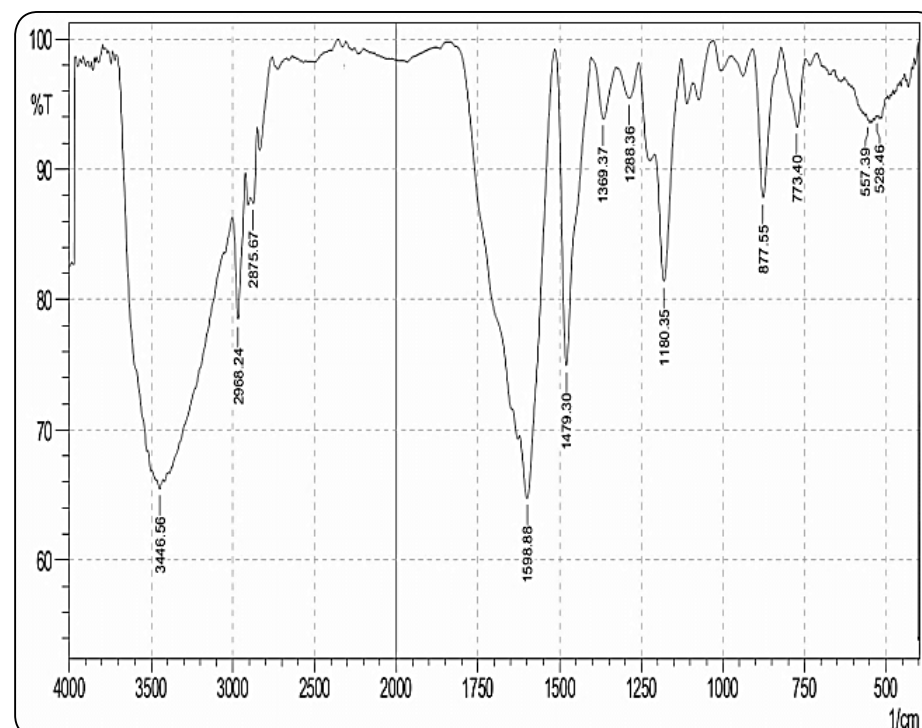


- Formaldehyde”, *J. Membr. Sci. Technol.*, 3(1), (2013).
- [24] R.M. Silverstein and F.X. Webster, “Spectrometric Identification Of Organic Compounds”, 6th ed, John Wiley & Sons., New York, USA (1998).
- [25] A.M. Attaa, M.I. Abdoua, A.A. Elsayedb and M.E. Ragab, “New Bisphenol Novolac Epoxy Resins for Marine Primer Steel Coating Applications”, *Prog. Org. Coat.*, 63(4), 372–376 (2008).
- [26] B.H. Stuart, “Infrared Spectroscopy: Fundamentals and Applications”, John Wiley & Sons, Inc., New York, USA (2004).
- [27] D.L. Pavia, G.M. Lampman and G.S. Kriz, “Introduction to Spectroscopy”, 3rd ed., Thomson Learning, Inc., USA (2001).
- [28] C.T. Imrie; F.E. Karas and G.S. Attard; “Effect of backbone flexibility on the transitional properties of side-chain liquid-crystalline polymers”, *Macromolecules*, 26(15), 3803- 3810 (1993).
- [29] A. Shefer, M. Gottlieb; “Effect of crosslinks on the glass transition temperature of end-linked elastomers”, *Macromolecules*, 25(15), 4036 - 4042 (1992).
- [30] A.T. Ozawa; “A New Method of Analyzing Thermogravimetric Data”, *Bull. Chem. Soc. Jpn.*, 38(11) 1881- 1886 (1965).
- Appl. Mech. Mater., 246- 247, 1047- 1051 (2013).
- [16] N. Gelashvili, G. Papava, M. Gurgenishvili, I. Chitrekashvili, Z. Molodinashvili and Z. Tabukashvili, “Phenol-Formaldehyde Type Polymers on the Basis of Bisphenols”, *Bull. Georg. Natl. Acad. Sci.*, 3(2), 84- 90 (2009).
- [17] Technical Information Bisphenol A (2010). www.chemconserve.eu
- [18] A. Higgins, “Adhesive bonding of aircraft structures, *Int. J. Adhes. Adhes.*, 20(5), 367–376 (2000).
- [19] S.S. Kim, D.C. Park, and D.G. Lee, “Characteristics of Carbon Fiber Phenolic Composite for Journal Bearing Materials”, *Compos. Struct.*, 66(1–4), 359–366 (2004).
- [20] A.M . Motawie, M.M. Badr, M.S. Amer, H.Y. Moustafa and I.M. Ali, “Some Coating Studies on Phenolic Epoxy/ Poly (Vinyl Acetal), Resins”, *J. Appl. Sci. Res.*, 4(9), 1043- 1051 (2008).
- [21] K. Sekmakas and T.H. Plaisance, “Preparation of Bisphenol-Formaldehyde Ethers using Nitric Acid”, Patent US 4260730 (1981).
- [22] J.J. Krajewski and E.J. Murphy, “Production of Monomeric Etherified Bisphenol-Formaldehyde Condensates”, Patent US 4310653 (1982).
- [23] M. Omidkhah1, M Z. Pedram and A.E. Amooghin, “ Facilitated Transport of CO₂ through DEA-Mediated Poly(Vinyl alcohol) Membrane Cross-Linked by 69(6), 1129–1136 (1998).
- [8] HD. Wu, MS. Lee, YD. Wu, YF. Su and CC.M. Ma, “Processability and Properties of Phenoxy Resin Toughened Phenolic Resin Composites”, *J. Appl. Polym. Sci.*, 63(7), 911–917 (1997).
- [9] R.K. Mishra, “Vibration Analysis of Glass Fiber Reinforced Composites”, *Int. J. Comput. Eng. Res.*, 2(3), 7762012 (789-).
- [10] CT. Lee, CC. M. Ma and HD. Wu, “Modified phenolic resin toughened by poly (alkylene oxide) and preparation thereof”, Patent US 5956671, (1999).
- [11] C.C. Riccardi, G.A. Aierbe, J.M. Echeverría and I. Mondragon, “Modelling of phenolic resin polymerization”, *Polymer*, 43(5), 1631–1639 (2002).
- [12] F. Cardona and J. Fedrigo, “Synthesis of elastomeric phenolic resins with improved toughness and flexibility”, EUROTETC: Inaugural European Technical Conference on Plastics, Barcelona, Spain (2011).
- [13] L. Guo, L. Wang and J. Li, “Study on Modification of Phenol Formaldehyde Resin Adhesive with Ionic Liquid”, 2nd International Conference on Electronic & Mechanical Engineering and Information Technology, Paris, France (2012).
- [14] Y. Huang, B. Fei, Y. Yu and R. Zhao, “Effect of Modification with Phenol Formaldehyde Resin on the Mechanical Properties of Wood from Chinese Fir”, *BioResources*, 8(1), 272 - 282 (2013).
- [15] G.W. Cheng, “New Route to Improve Thermal Property of Phenolic Resin”, [1] J.A. Brydson, “Plastic Materials”, 7th ed., Butterworth-Heinemann Inc., London, UK (1999).
- [2] A. Gardziella, L.A. Pilato and A. Knop, “Phenolic Resins: Chemistry, Applications, Standardization, Safety and Ecology”, 2nd ed., Springer-Verlag Berlin and Heidelberg GmbH & Co. K., Berlin, Germany (2000).
- [3] E.C. Ramires and E. Frollini, “Resol and Novolac Glyoxal-Phenol Resins: Use as Matrices in Bio-Based Composites”, 16th International Conference on Composite Structures, Porto (2011).
- [4] N.N. Ghosh, B. Kiskan and Y. Yagci, “Polybenzoxazines- New high: performance thermosetting resins Synthesis and properties”, *Prog. Polym. Sci.*, 32(11), 1344–1391 (2007).
- [5] S. AthajariYakul and S. Vanichseni, “Development of a Kinetic Model for Resole Type Phenolic Resin Formation”, *Thammasat Int. J. Sc. Tech.*, 6(3), 13 - 18 (2001).
- [6] A.C. Gusse, P.D. Miller and T.J. Volk, “White-Rot Fungi Demonstrate First Biodegradation of Phenolic Resin”, *Environ. Sci. Technol.*, 40(13), 4196– 4199 (2006).
- [7] CC.M Ma, CT. Lee, HD. Wu, “Mechanical properties, thermal stability, and flame retardance of pultruded fiber-reinforced poly(ethylene oxide)-toughened novolak-type phenolic resin”, *J. Appl. Polym. Sci.*,

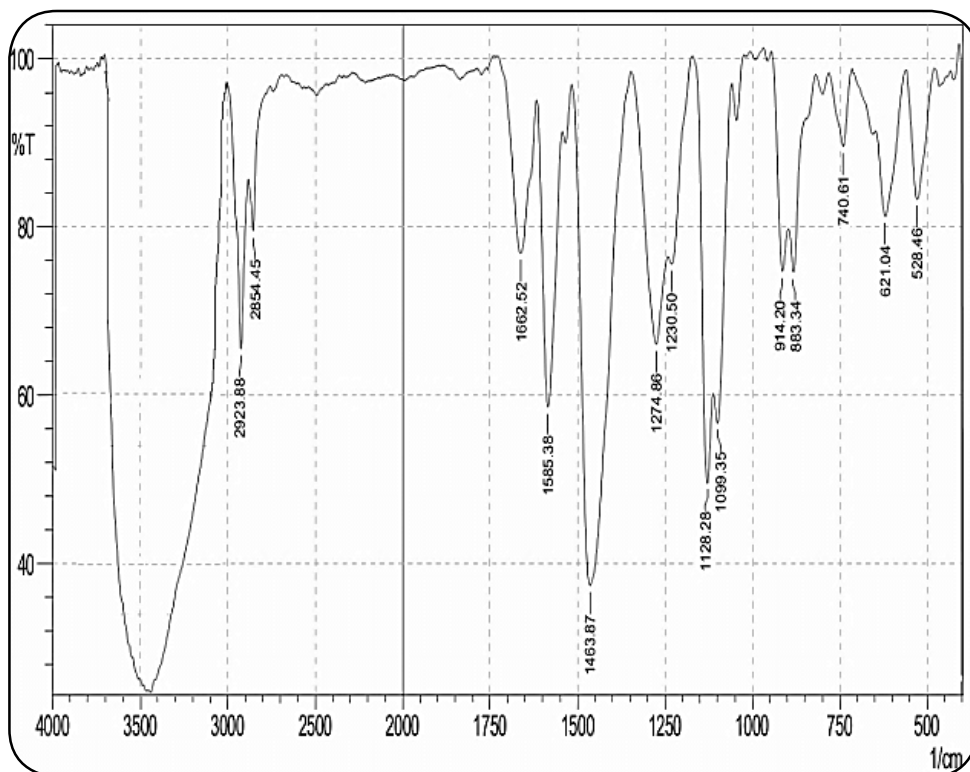
المصادر



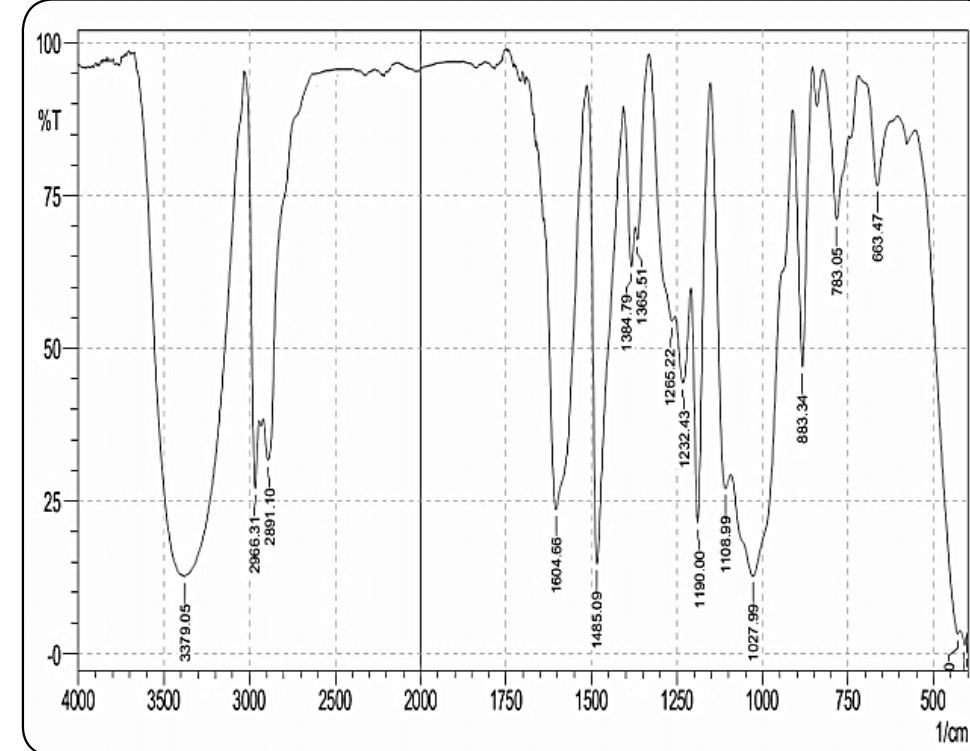
الشكل(3): طيف FTIR للراتنج RS



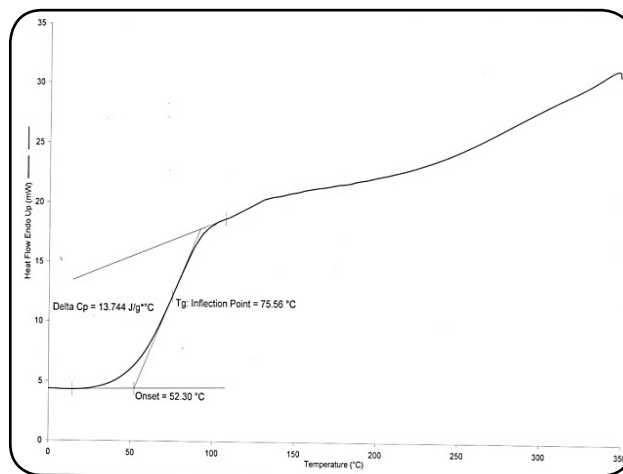
الشكل(1): طيف FTIR للراتنج RA



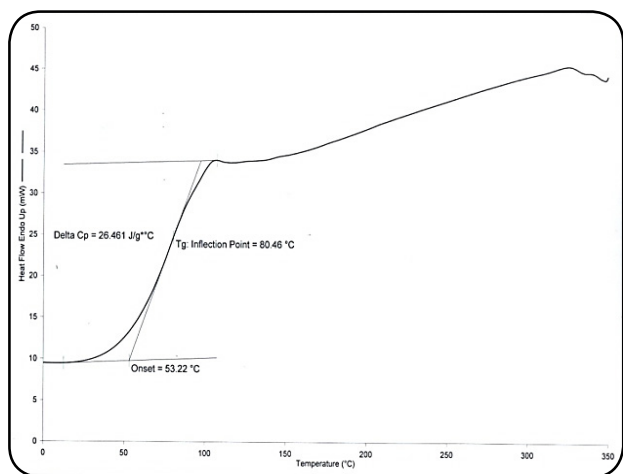
الشكل(4): طيف FTIR للكوبوليمر SV25



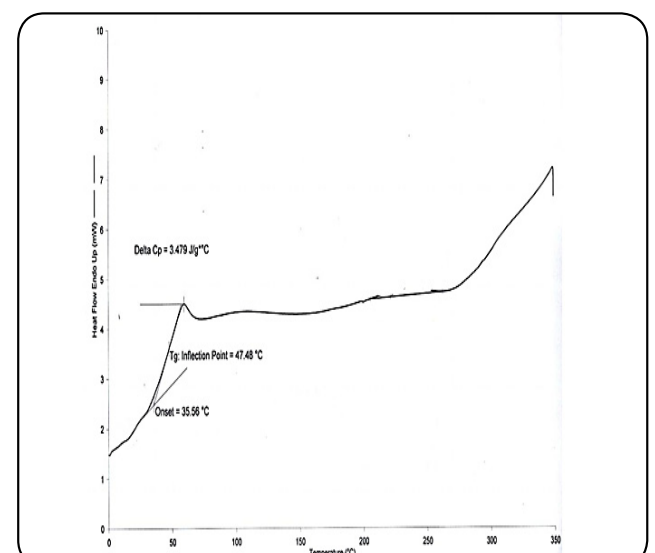
الشكل(2): طيف FTIR للكوبوليمر AV25



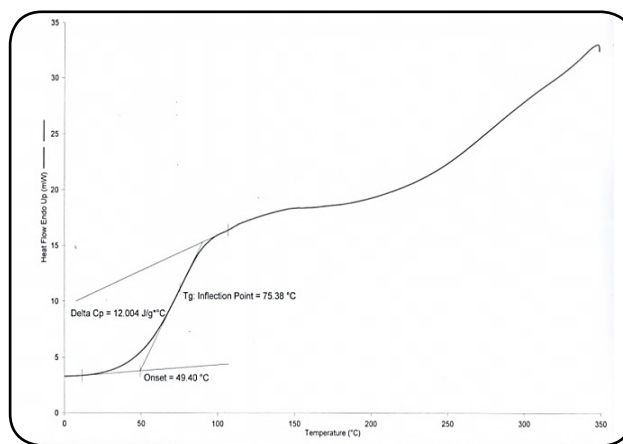
الشكل (12): منحني DSC للكوبوليمر SV5



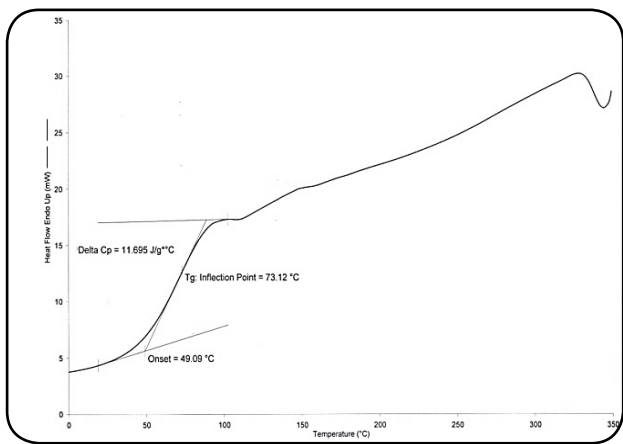
الشكل (11): منحني DSC للراتنج RS



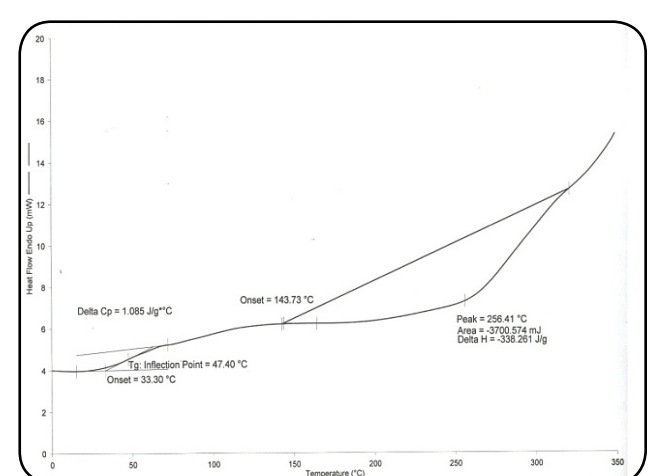
الشكل (6): منحني DSC للكوبوليمر AV5



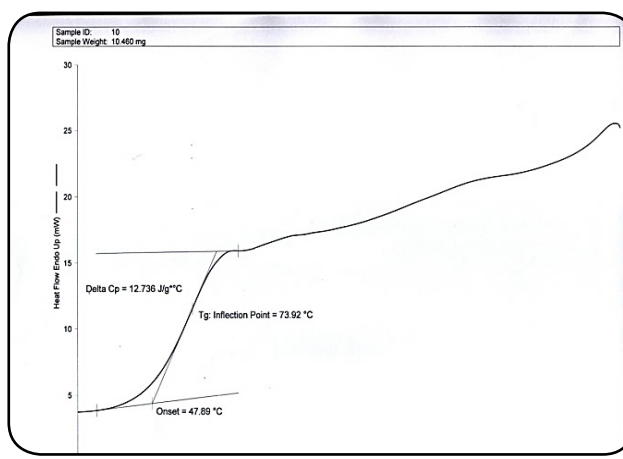
الشكل (14): منحني DSC للكوبوليمر SV15



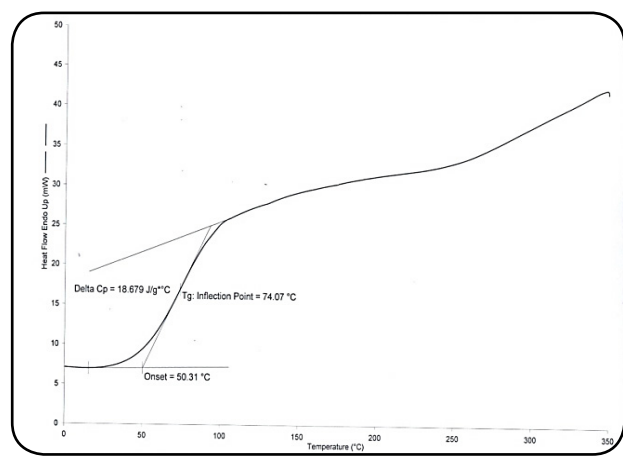
الشكل (13): منحني DSC للكوبوليمر SV10



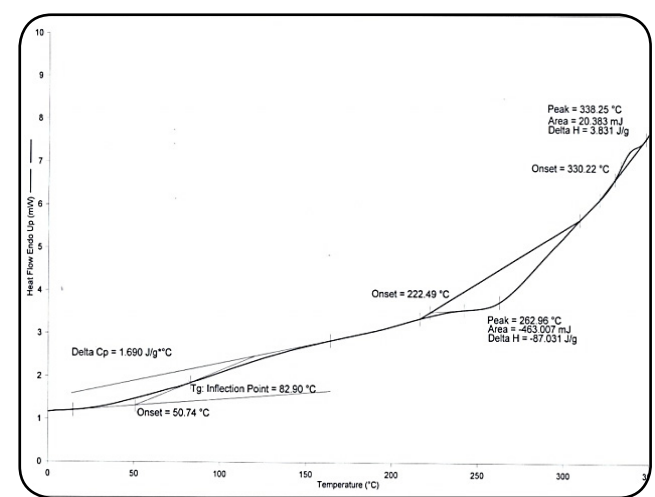
الشكل (8): منحني DSC للكوبوليمر AV25



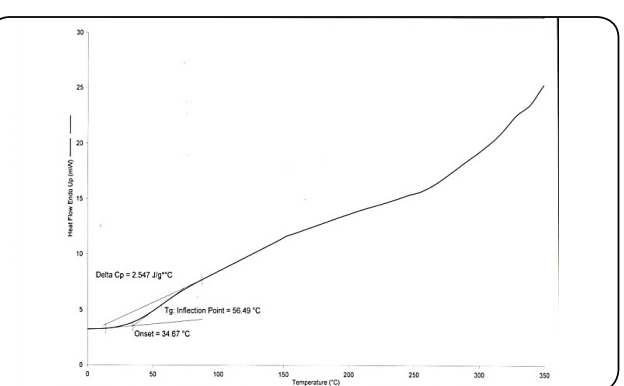
الشكل (16): منحني DSC للكوبوليمر SV25



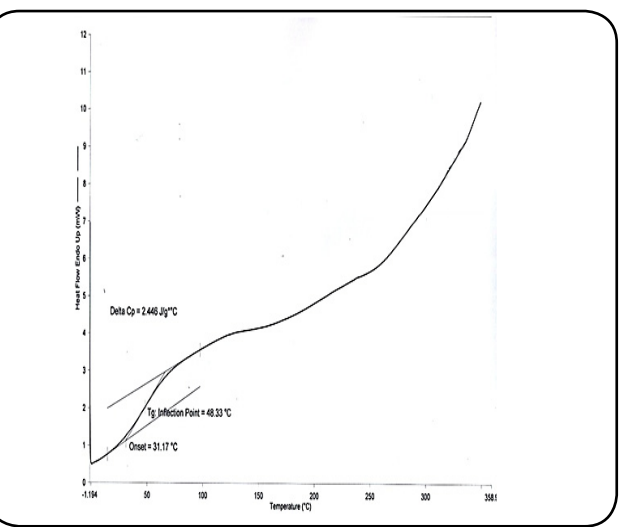
الشكل (15): منحني DSC للكوبوليمر SV20



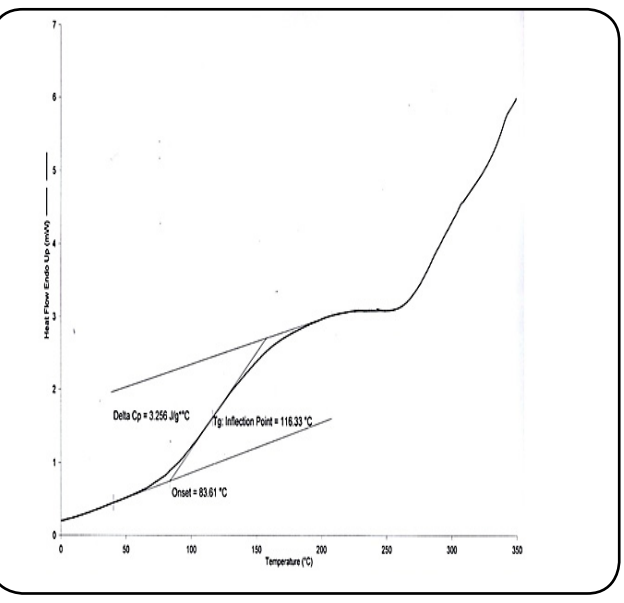
الشكل (10): منحني DSC للكوبوليمر AV20



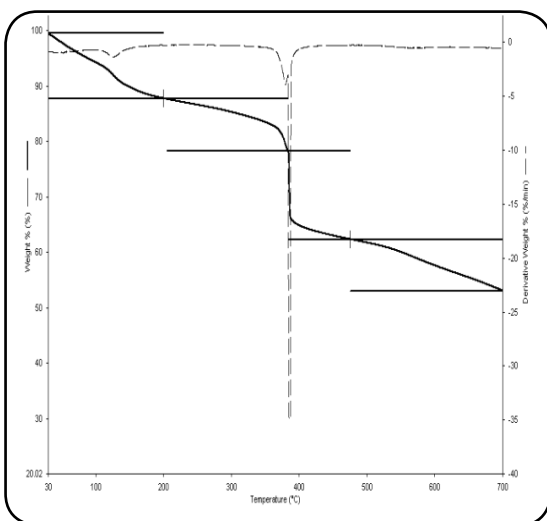
الشكل (5): منحني DSC للراتنج RA



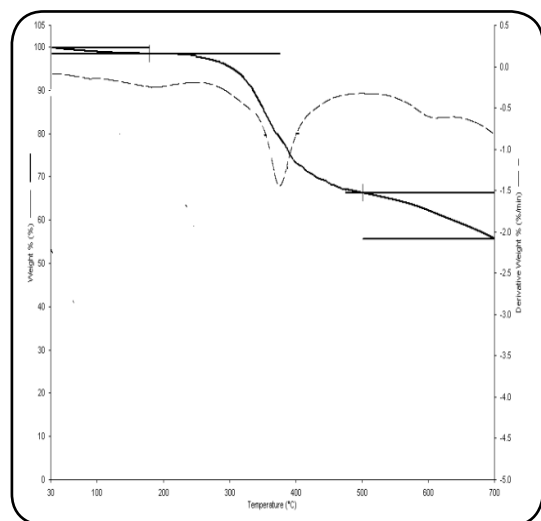
الشكل (7): منحني DSC للكوبوليمر AV10



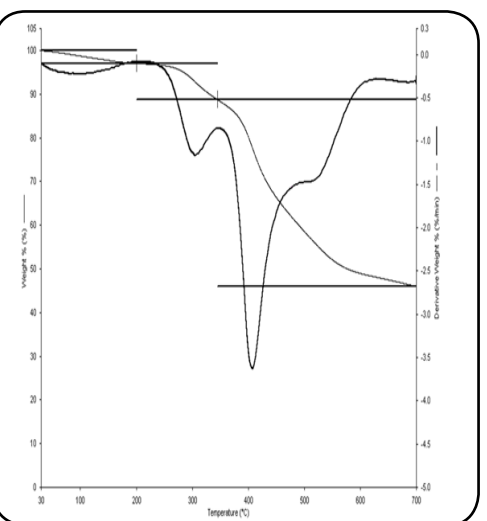
الشكل (9): منحني DSC للكوبوليمر AV15



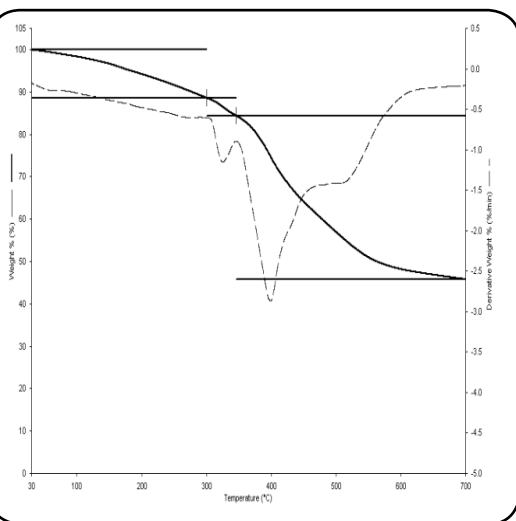
الشكل (24): منحني TGA للكوبوليمر SV5



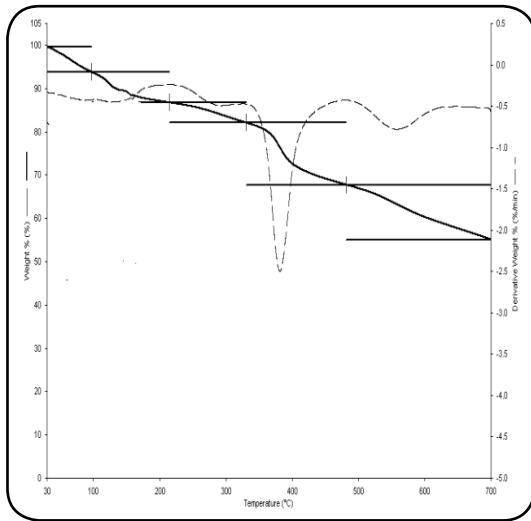
الشكل (23): منحني TGA للراتنج RS



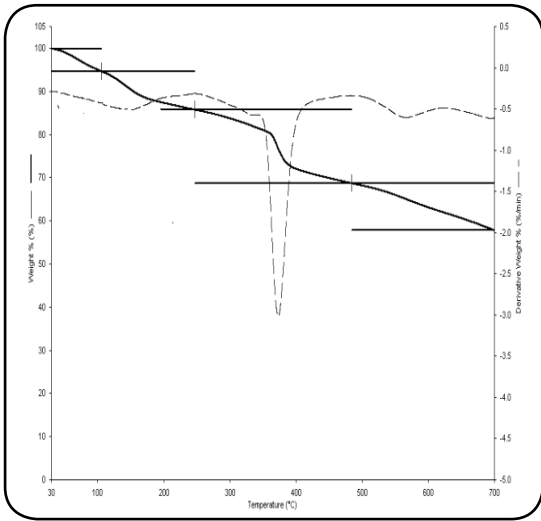
الشكل (18): منحنى TGA للكوبوليمر AV5



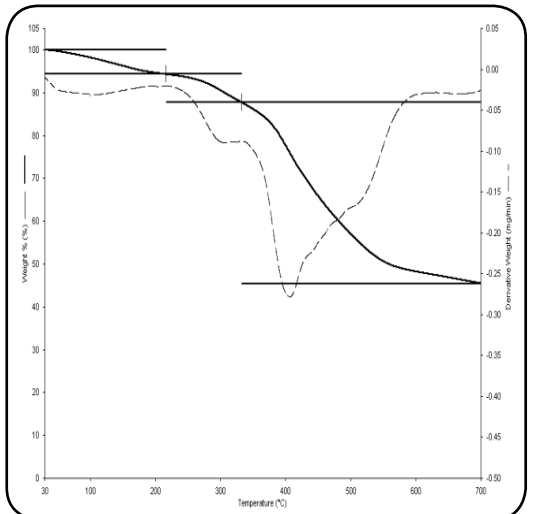
الشكل (17): منحنى TGA للراتنج RA



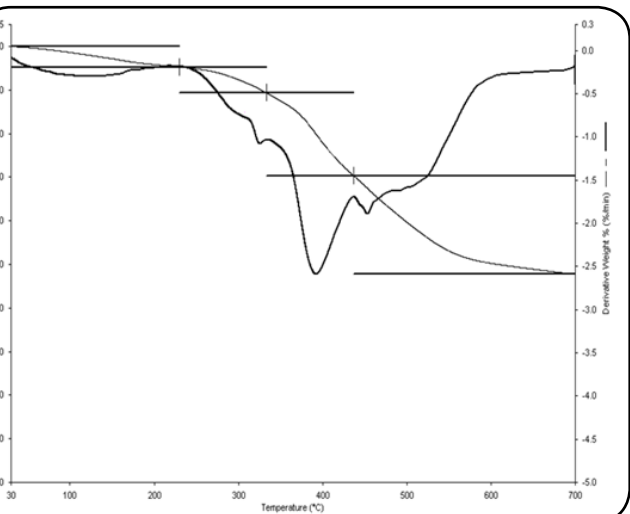
الشكل (26): منحنى TGA للكوبوليمير SV15



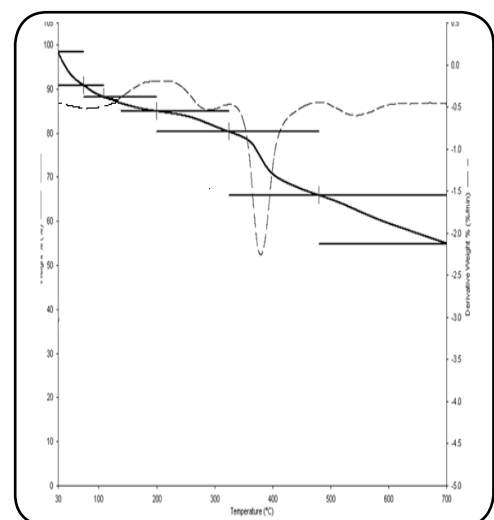
الشكل (25): منحنى TGA للكوبوليمر SV10



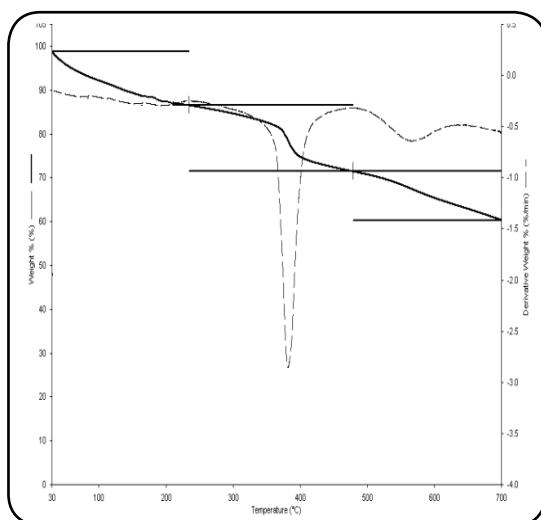
الشكل (20): منحنى TGA للكوبوليمر AV15



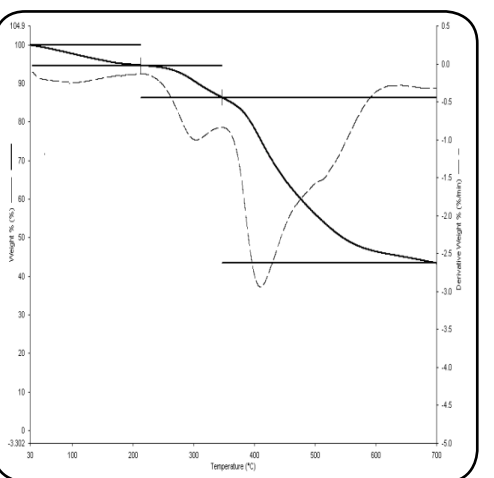
الشكل (19): منحنى TGA للكوبوليمر AV10



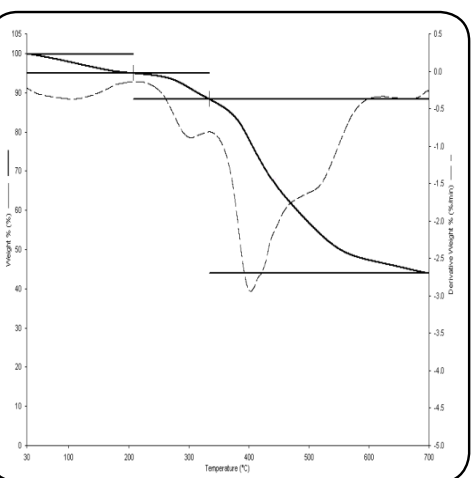
الشكل (28): منحنى TGA للكوبوليمر SV25



الشكل (27): منحنى TGA للكوبوليمر SV20



الشكل (22): منحنى TGA للكوبوليمر AV25



الشكل (21): منحني TGA للكوبوليمير AV20